

відносна глобальна похибка ε_U наближеного розв'язку при цьому становить 1.34×10^{-6} . Для визначення розв'язку здійснені 114 кроків, з них 16 відкинути. Права частина при цьому обчислювалась 799 разів.

I. Бахвалов Н.С., Мидков Н.П., Кобельков Г.М. Численные методы. М., 1987. 2. Хайрер Е., Нерсерт С., Ванер Г. Решение обыкновенных дифференциальных уравнений. Невесткие задачи. М., 1990. 3. Пербатий М.В., Тванків К.С. Методичні вказівки до розробки програмного забезпечення розв'язування задач Коші однокроковими методами. Львів, 1993. 4. Dormand J.R., Prince P.T. A family of embedded Runge-Kutta formulae // Comput. Appl. Math. 1980, Vol. 6. P.19-26. 5. Shampine L.F., Watts H.A. The art of writing a Runge-Kutta code // Comput. Appl. Math. 1979, Vol. 5. P.93-121.

Стаття надійшла до редколегії 10.03.98

УДК 539.214

Р.І.Кісіль

ДОСЛІДЖЕННЯ ЗБІЖНОСТІ ІТЕРАЦІЙНОГО ПРОЦЕСУ
В ЗАДАЧАХ ПРУЖНОПЛАСТИЧНОГО ДЕФОРМУВАННЯ
ТВЕРДИХ ТІЛ

Розглянемо процеси квазістатичного пружнопластичного деформування тонкостінних тіл. Постановку задачі пластичності здійснимо в рамках класичної моделі Прандтля-Рейса. Функцію навантаження оберемо у формі Мізеса. Для побудови математичної моделі використаємо гіпотезу адитивності деформацій, згідно з якою приріст повних деформацій в тілі може бути поданий у вигляді суми приростів пружиних /зворотних/ деформацій $\Delta \varepsilon^e$ та пластичних /залишкових/ деформацій $\Delta \varepsilon^p$.

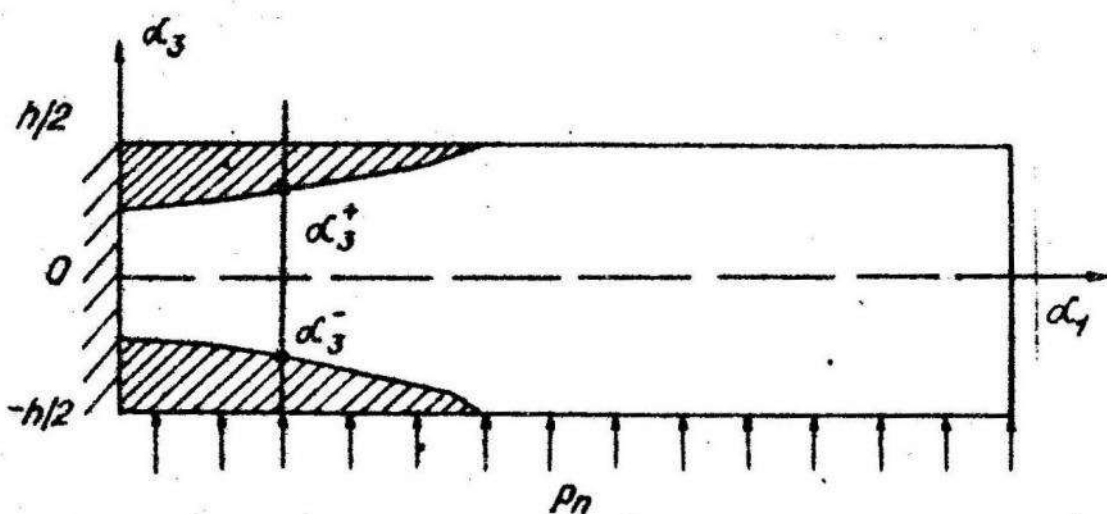
Вважається, що для тіла виконується лінійний за"язок між приростом напружень $\Delta \sigma$ і приростом пружиних деформацій $\Delta \varepsilon^e$. Для лініаризації отриманої задачі використовується метод додаткових напружень, який дає змогу звести розв'язування фізично-налінійної задачі деформування тіла до послідовності лінійних задач. Якщо тіло тонкостінне, доцільно здійснювати редукцію лінійних задач до двовимірних. При цьому використовуємо гіпотези деформування типу Тимошенка.

© Кісіль Р.І., 1995

Після розв'язання редукованої задачі ці гіпотези дають змогу відтворювати просторові поля деформацій. Обчислення просторових полів напружень здійснюється в рамках тридимірної теорії пружнопластичного деформування.

Величини напружень і пластичних деформацій обчислюватимемо у певній множині точок з проміжку $[-h/2; h/2]$ де h – товщина тіла. Тоді закон розподілу пластичних деформацій по товщині тіла можна подати у кусково-лінійному вигляді.

Описаний алгоритм використовували для дослідження пружнопластичного деформування смуги-пластини /див. рисунок 4/.



Край пластини коротко защемлений з одного боку і вільний з іншого. Товщина $h = 0,005$ м, довжина $l = 0,1$ м, модуль Інга Е = 2.1×10^5 МПа, межа текучості $\sigma_T = 245$ МПа. Розглядали випадок дослідження напруженого-деформованого стану пластини з ідеально пластичного матеріалу під дією рівномірного тиску $\rho_n = 0,305$ МПа.

Для дослідження збіжності ітераційного процесу обирали $n = 2k-1$ – точкове рівномірне розбиття по товщині пластини. У табл. I та 2 наведені значення пластичних деформацій та інтенсивності напруження по товщині пластини в точках $\alpha_1 = 0,0$ /випадок 1/ та $\alpha_2 = 0,00625$ /випадок 2/ при $\nu = 0,5$ та $\nu = 0,3$ відповідно. Крім цього, слід зазначити, що при значенні коефіцієнта Пуассона $\nu = 0,5$, $\varepsilon_2^P = 0,3$ огляду на симетрію наведені результати лише для $\alpha_3 > 0$.

Аналізуючи величини пластичних деформацій по товщині тіла, можна зауважити, що їх розподіл дещо різниеться від лінійного розподілу в зоні виникнення пластичних деформацій при $\nu = 0,3$; при $\nu = 0,5$

Таблица 1

N_3 3/n	$\alpha_3 \times h/2$	$k = 3$		$k = 6$		Гипотеза
		$\varepsilon_1^P \times 10^{-3}$	σ_{int}	$\varepsilon_1^P \times 10^{-3}$	σ_{int}	
I	I	-0.6389	245	-0.5838	245	-0.5602 245
	0.833	-	-	-0.3172	245	-0.2379 245
	0.666	-0.0882	245	-0.0511	245	-0.0357 245
	0.5	-	-	0.0	193.2	0.0 190.1
2	I	-0.2500	245	-0.1817	245	-0.1739 245
	0.833	-	-	0.0	240.8	0.0 239.6
	0.666	0.0	203.6	0.0	192.6	0.0 191.6
	0.5	-	-	0.0	144.6	0.0 143.8

Таблица 2

N_3 3/n	$\alpha_3 \times h/2$	$k = 6$		Гипотеза		
		$\varepsilon_1^P \times 10^{-3}$	$\varepsilon_2^P \times 10^{-3}$	σ_{int}	$\varepsilon_1^P \times 10^{-3}$	$\varepsilon_2^P \times 10^{-3}$
I	I	-0.8397	0.1170	245	-0.7987	0.1136 245
	0.833	-0.4972	0.0833	245	-0.4626	0.0658 245
	0.666	-0.1538	0.0322	245	-0.1264	0.0180 245
	0.5	0.0	0.0	207.3	0.0	0.0 203.1
2	I	-0.2773	0.0534	245	-0.2693	0.0521 245
	0.833	-0.0279	0.0064	245	-0.0212	0.0042 245
	0.666	0.0	0.0	200.4	0.0	0.0 199.3
	0.5	0.0	0.0	150.4	0.0	0.0 149.7

він лінійний [1,2]. Виходячи з цього, розглядали вигляд дослідження пружнопластичного деформування смуги-пластиини з гіпотезою наближеного 3-лінійного розподілу пластичних деформацій по товщині тіла:

$$\varepsilon_i^P(\alpha_3) = \begin{cases} -\frac{\varepsilon_i^P}{h/2 + \alpha_3^-} \frac{\alpha_3 - \alpha_3^-}{h/2 + \alpha_3^-}, & -h/2 \leq \alpha_3 < \alpha_3^-, \\ 0, & \alpha_3^- \leq \alpha_3 \leq \alpha_3^+, \\ \frac{\varepsilon_i^P}{h/2 - \alpha_3^+} \frac{\alpha_3^+ - \alpha_3}{h/2 - \alpha_3^+}, & \alpha_3^+ < \alpha_3 \leq h/2, \end{cases}$$

де $\varepsilon_i^P, \alpha_i^P$, $i = 1, 2$ – значення пластичних деформацій на краях $-h/2$ та $h/2$ відповідно; $\alpha_3^- (\alpha_1)$, $\alpha_3^+ (\alpha_2)$ – точки, що розташовані на межі зони виникнення пластичних деформацій по товщині пластиини.

Такий підхід дає змогу зменшити кількість точок розбиття проміжку $[-h/2; h/2]$ до чотирьох: двох країв і точок α_3^- , α_3^+ , а також дає змогу точніше визначати зону пластичних деформацій. Не шукуючи α_3^- , α_3^+ ми могли лише стверджувати, що у деяких точках розбиття все ж виникають пластичні деформації. Деякою особливістю 3-лінійного підходу є те, що точки α_3^- , α_3^+ не є стаціонарними на відміну від вузла розбиття, а постійно змінюються зі зростанням області пластичних деформацій углиб. Це вимагає перерахунку на кожній ітерації значень напружень, виходячи з лінійного їх розподілу по товщині тіла у пружній зоні. У табл. 1 та 2 наведені отримані з використанням такої гіпотези величини пластичних деформацій та інтенсивностей напружень на краю пластиини /у точці $\alpha_3 = h/2$ /, а у внутрішніх точках ці значення обчислені, виходячи з закону розподілу. Отримані значення α_3^+ зведені у табл. 3.

Таблиця 3

$\frac{J_1}{3/n}$	$\gamma = 0.5$		$\gamma = 0.3$	
	$k = 3$	$k = 6$	Гіпотеза	Аналіт.
1	0.001531	0.001585	0.001608	0.001605
2	0.002004	0.002119	0.002129	0.002129
			0.001478	0.001508
			0.002036	0.002047

Звичайно, використовуючи підхід із розбиттям декількома точками по товщині, ми також можемо уточнити межу зони виникнення пластичних деформацій, знаходити точки α_3^- , α_3^+ . Отримані відповідні значення наведені в табл. 3, де вміщені також відомі з літератури [1].

значення точок α_3^+ при $\gamma = 0,5$. Із наведених результатів бачимо, як розмір зони виникнення пластичних деформацій по товщині тіла впливає на величину σ_{int} в області виникнення лише пружних деформацій.

Відповіді отримані при $\varepsilon = 0,0001$. Така величина забезпечує достатню точність результатів, що випливає з результатів досліджень, наведених у табл. 4. Розглядався випадок $\gamma = 0,5$ при застосуванні гіпотези 3-дінійного розподілу.

Таблиця 4

№ з/п	$\varepsilon = 0,01$		$\varepsilon = 0,001$		$\varepsilon = 0,0005$	
	$\varepsilon_1^{P+} \times 10^{-3}$	$\alpha_3^+ \times 10^{-2}$	$\varepsilon_1^{P+} \times 10^{-3}$	$\alpha_3^+ \times 10^{-2}$	$\varepsilon_1^P \times 10^{-3}$	$\alpha_3^+ \times 10^{-2}$
I	-0.4451	0.1735	-0.5327	0.1637	-0.5472	0.1622
2	-0.1710	0.2138	-0.1758	0.2129	-0.1759	0.2129

Таким чином, забезпечення точності результатів при використанні першого підходу вимагає великої кількості точок розбиття по товщині тіла. Особливо густота точок зростає за малих пластичних деформацій. Слід також брати до уваги, що тривалість обчислень для досить великої кількості точок розбиття та розмір використовуваної пам'яті комп'ютера є більшим, ніж у разі використання вказаної гіпотези.

1. Качанов Л.М. Механика пластических сред. М., 1948.
 2. Можаровский Н.С. Теория пластичности и измучести в инженерном деле. К., 1991. 3. Муха І.С. Чисельна схема розв'язування задач на 3-дінійного деформування твердих тіл при низьких початкових переміщень // Вісн. Львів. ун-ту. Сер. мех.-мат., 1990. Вип. 33. С. 22-26.

Стаття надійшла до редколегії 14.03.95